

Eingabe: Farbmimetrisches Offset-Reflektiv-System ORS18

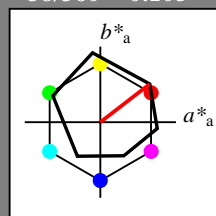
für Buntton  $h^* = lab^*h = 38/360 = 0.105$

$lab^*tch$  und  $lab^*nch$

D65: Buntton O

LCH\*Ma: 48 83 38

olv\*Ma: 1.0 0.0 0.0



ORS18; adaptierte CIELAB-Daten

	$L^*=L^*_a$	$a^*_a$	$b^*_a$	$C^*_{ab,a}$	$h^*_{ab,a}$
O <sub>m</sub>	47.94	65.39	50.52	82.63	38
Y <sub>m</sub>	90.37	-10.26	91.75	92.32	96
L <sub>m</sub>	50.9	-62.83	34.96	71.91	151
C <sub>m</sub>	58.62	-30.34	-45.01	54.3	236
V <sub>m</sub>	25.72	31.1	-44.4	54.22	305
M <sub>m</sub>	48.13	75.28	-8.36	75.74	354
N <sub>m</sub>	18.01	0.0	0.0	0.0	0
W <sub>m</sub>	95.41	0.0	0.0	0.0	0
R <sub>CIE</sub>	39.92	58.66	26.98	64.57	25
J <sub>CIE</sub>	81.26	-2.16	67.76	67.79	92
G <sub>CIE</sub>	52.23	-42.25	11.76	43.87	164
B <sub>CIE</sub>	30.57	1.15	-46.84	46.86	271

Dreiecks-Helligkeit  $t^*$

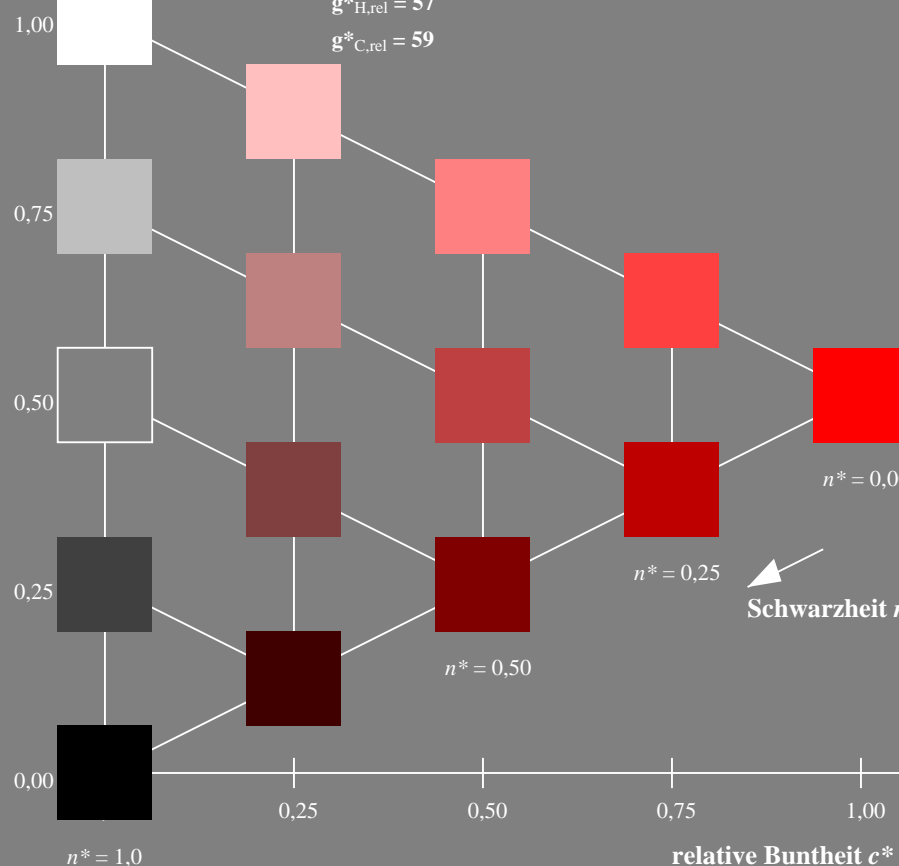
%Umfang

$u^*_{rel} = 93$

%Regularität

$g^*_{H,rel} = 57$

$g^*_{C,rel} = 59$



NG200-7, 5 stufige Reihen für konstanten CIELAB Buntton 38/360 = 0.105 (links)

Ausgabe: Farbmimetrisches Fernseh-Licht-System TLS00

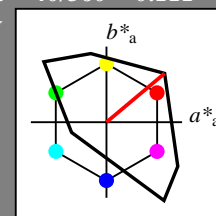
für Buntton  $h^* = lab^*h = 40/360 = 0.111$

$LAB^*LCH$ ,  $LAB^*NCH$

D65: Buntton O

LCH\*Ma: 51 100 40

olv\*Ma: 1.0 0.0 0.0



TLS00; adaptierte CIELAB-Daten

	$L^*=L^*_a$	$a^*_a$	$b^*_a$	$C^*_{ab,a}$	$h^*_{ab,a}$
O <sub>m</sub>	50.5	76.92	64.55	100.42	40
Y <sub>m</sub>	92.66	-20.69	90.75	93.08	103
L <sub>m</sub>	83.63	-82.75	79.9	115.04	136
C <sub>m</sub>	86.88	-46.16	-13.55	48.12	196
V <sub>m</sub>	30.39	76.06	-103.59	128.52	306
M <sub>m</sub>	57.3	94.35	-58.41	110.97	328
N <sub>m</sub>	0.01	0.0	0.0	0.0	0
W <sub>m</sub>	95.41	0.0	0.0	0.0	0
R <sub>CIE</sub>	39.92	58.74	27.99	65.07	25
J <sub>CIE</sub>	81.26	-2.88	71.56	71.62	92
G <sub>CIE</sub>	52.23	-42.41	13.6	44.55	162
B <sub>CIE</sub>	30.57	1.41	-46.46	46.49	272

CIELAB-Helligkeit  $L^*$

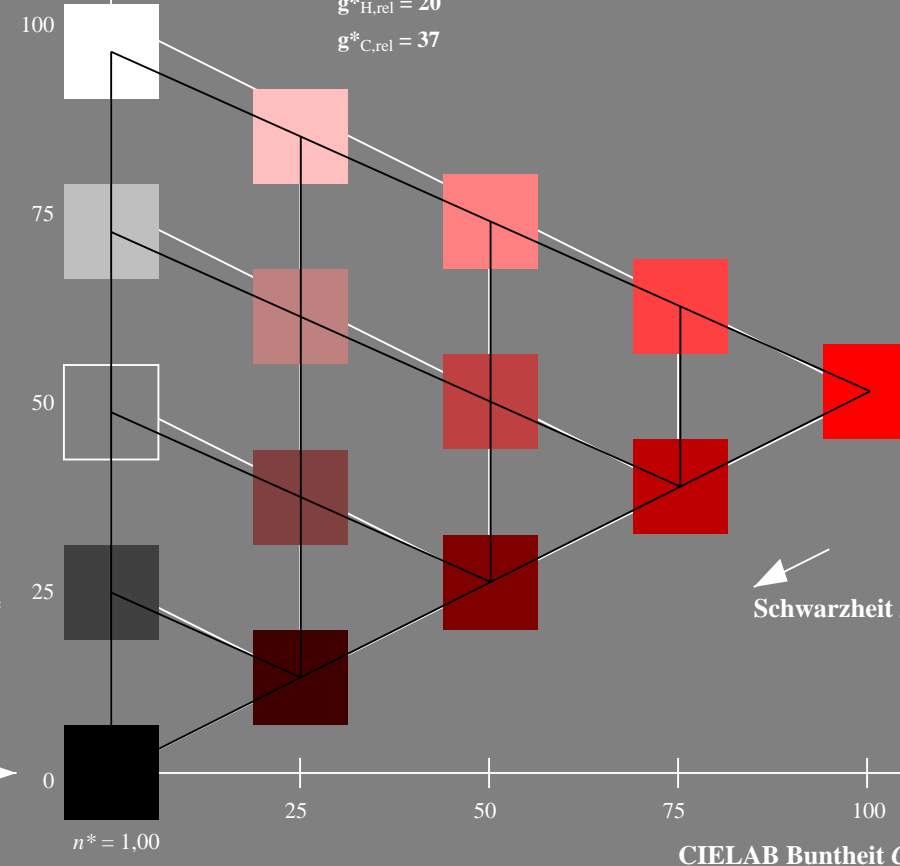
%Umfang

$u^*_{rel} = 158$

%Regularität

$g^*_{H,rel} = 20$

$g^*_{C,rel} = 37$



5 stufige Reihen für konstanten CIELAB Buntton 40/360 = 0.111 (rechts)

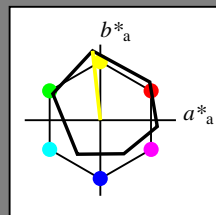
BAM-Prüfvorlage NG20; Farbmimetrik-Systeme ORS18 & TLS00 input: olv\* setrgbcolor

D65: Koordinatensysteme; 5stufige Farbreihen für 10 Bunttöne output: no change compared to input

Eingabe: Farbmimetrisches Offset-Reflektiv-System ORS18

für Buntton  $h^* = lab \cdot h = 96/360 = 0.268$   
 $lab \cdot tch$  und  $lab \cdot nch$

D65: Buntton Y  
LCH\*Ma: 90 92 96  
olv\*Ma: 1.0 1.0 0.0



ORS18; adaptierte CIELAB-Daten

	$L^*=L^*_a$	$a^*_a$	$b^*_a$	$C^*_{ab,a}$	$h^*_{ab,a}$
O <sub>m</sub>	47.94	65.39	50.52	82.63	38
Y <sub>m</sub>	90.37	-10.26	91.75	92.32	96
L <sub>m</sub>	50.9	-62.83	34.96	71.91	151
C <sub>m</sub>	58.62	-30.34	-45.01	54.3	236
V <sub>m</sub>	25.72	31.1	-44.4	54.22	305
M <sub>m</sub>	48.13	75.28	-8.36	75.74	354
N <sub>m</sub>	18.01	0.0	0.0	0.0	0
W <sub>m</sub>	95.41	0.0	0.0	0.0	0
R <sub>CIE</sub>	39.92	58.66	26.98	64.57	25
J <sub>CIE</sub>	81.26	-2.16	67.76	67.79	92
G <sub>CIE</sub>	52.23	-42.25	11.76	43.87	164
B <sub>CIE</sub>	30.57	1.15	-46.84	46.86	271

Dreiecks-Helligkeit  $t^*$

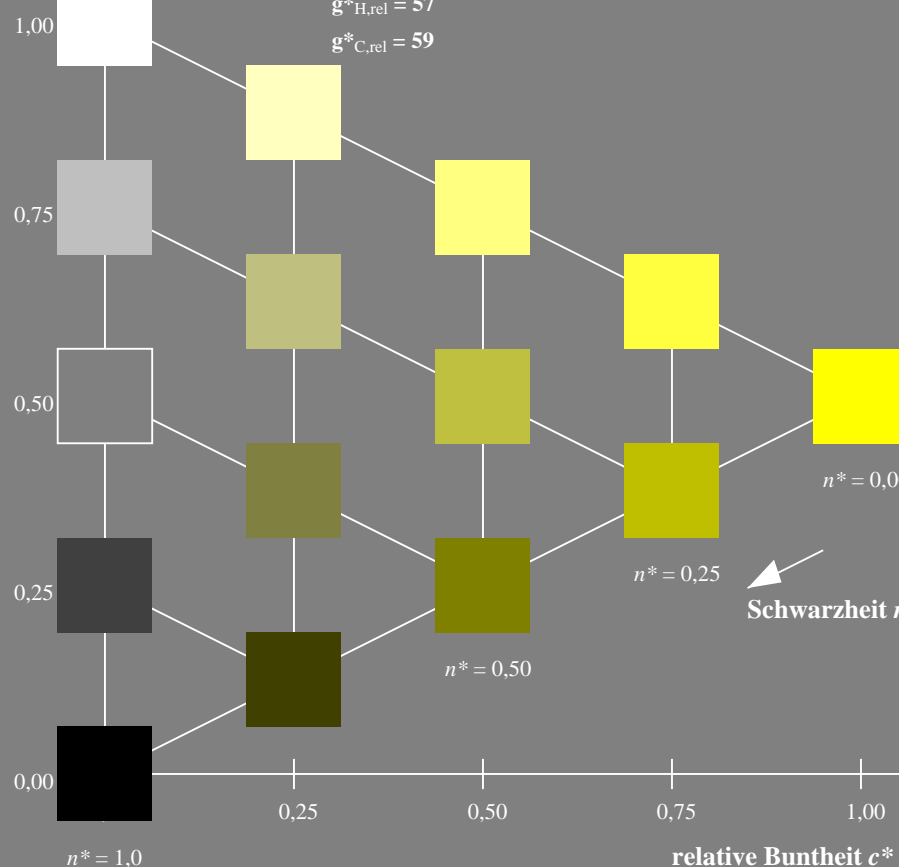
%Umfang

$u^*_{rel} = 93$

%Regularität

$g^*_{H,rel} = 57$

$g^*_{C,rel} = 59$

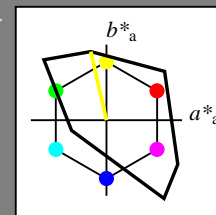


NG200-7, 5 stufige Reihen für konstanten CIELAB Buntton 96/360 = 0.268 (links)

Ausgabe: Farbmimetrisches Fernseh-Licht-System TLS00

für Buntton  $h^* = lab \cdot h = 103/360 = 0.286$   
 $LAB \cdot LCH$ ,  $LAB \cdot NCH$

D65: Buntton Y  
LCH\*Ma: 93 93 103  
olv\*Ma: 1.0 1.0 0.0



TLS00; adaptierte CIELAB-Daten

	$L^*=L^*_a$	$a^*_a$	$b^*_a$	$C^*_{ab,a}$	$h^*_{ab,a}$
O <sub>m</sub>	50.5	76.92	64.55	100.42	40
Y <sub>m</sub>	92.66	-20.69	90.75	93.08	103
L <sub>m</sub>	83.63	-82.75	79.9	115.04	136
C <sub>m</sub>	86.88	-46.16	-13.55	48.12	196
V <sub>m</sub>	30.39	76.06	-103.59	128.52	306
M <sub>m</sub>	57.3	94.35	-58.41	110.97	328
N <sub>m</sub>	0.01	0.0	0.0	0.0	0
W <sub>m</sub>	95.41	0.0	0.0	0.0	0
R <sub>CIE</sub>	39.92	58.74	27.99	65.07	25
J <sub>CIE</sub>	81.26	-2.88	71.56	71.62	92
G <sub>CIE</sub>	52.23	-42.41	13.6	44.55	162
B <sub>CIE</sub>	30.57	1.41	-46.46	46.49	272

CIELAB-Helligkeit  $L^*$

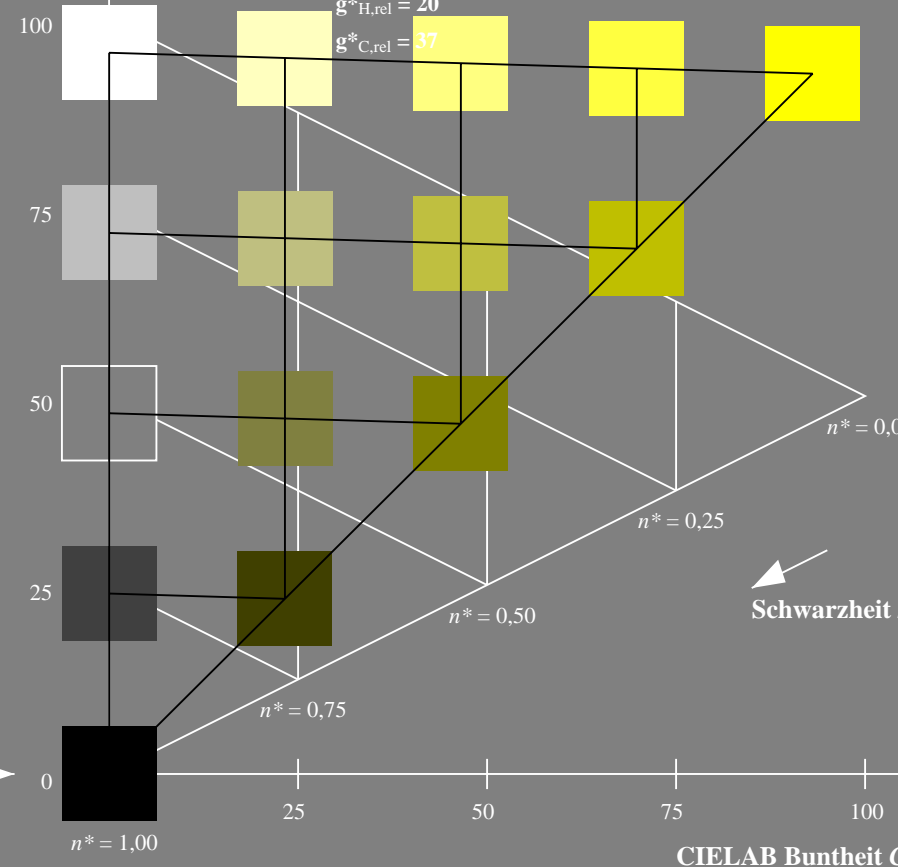
%Umfang

$u^*_{rel} = 158$

%Regularität

$g^*_{H,rel} = 20$

$g^*_{C,rel} = 37$



5 stufige Reihen für konstanten CIELAB Buntton 103/360 = 0.286 (rechts)

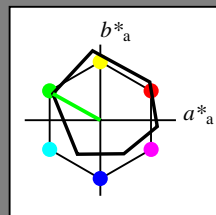
BAM-Prüfvorlage NG20; Farbmimetrik-Systeme ORS18 & TLS00 input: olv\* setrgbcolor

D65: Koordinatensysteme; 5stufige Farbreihen für 10 Bunttöne output: no change compared to input

### Eingabe: Farbmimetrisches Offset-Reflektiv-System ORS18

für Buntton  $h^* = lab^*h = 151/360 = 0.419$   
 $lab^*tch$  und  $lab^*nch$

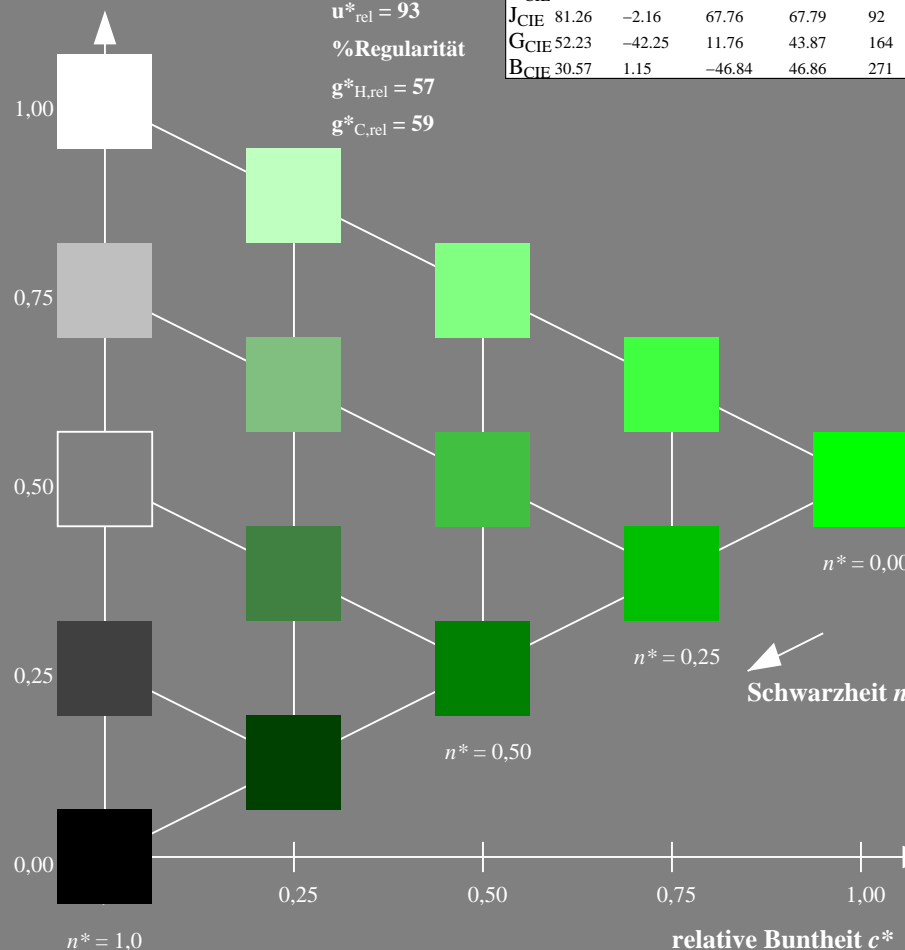
D65: Buntton L  
LCH\*Ma: 51 72 151  
olv\*Ma: 0.0 1.0 0.0



ORS18; adaptierte CIELAB-Daten					
	$L^*=L^*_a$	$a^*_a$	$b^*_a$	$C^*_{ab,a}$	$h^*_{ab,a}$
O <sub>m</sub>	47.94	65.39	50.52	82.63	38
Y <sub>m</sub>	90.37	-10.26	91.75	92.32	96
L <sub>m</sub>	50.9	-62.83	34.96	71.91	151
C <sub>m</sub>	58.62	-30.34	-45.01	54.3	236
V <sub>m</sub>	25.72	31.1	-44.4	54.22	305
M <sub>m</sub>	48.13	75.28	-8.36	75.74	354
N <sub>m</sub>	18.01	0.0	0.0	0.0	0
W <sub>m</sub>	95.41	0.0	0.0	0.0	0
R <sub>CIE</sub>	39.92	58.66	26.98	64.57	25
J <sub>CIE</sub>	81.26	-2.16	67.76	67.79	92
G <sub>CIE</sub>	52.23	-42.25	11.76	43.87	164
B <sub>CIE</sub>	30.57	1.15	-46.84	46.86	271

Dreiecks-Helligkeit  $t^*$

%Umfang  
 $u^*_{rel} = 93$   
%Regularität  
 $g^*_{H,rel} = 57$   
 $g^*_{C,rel} = 59$

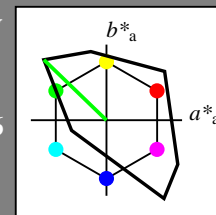


NG200-7, 5 stufige Reihen für konstanten CIELAB Buntton 151/360 = 0.419 (links)

### Ausgabe: Farbmimetrisches Fernseh-Licht-System TLS00

für Buntton  $h^* = lab^*h = 136/360 = 0.378$   
 $LAB^*LCH$ ,  $LAB^*NCH$

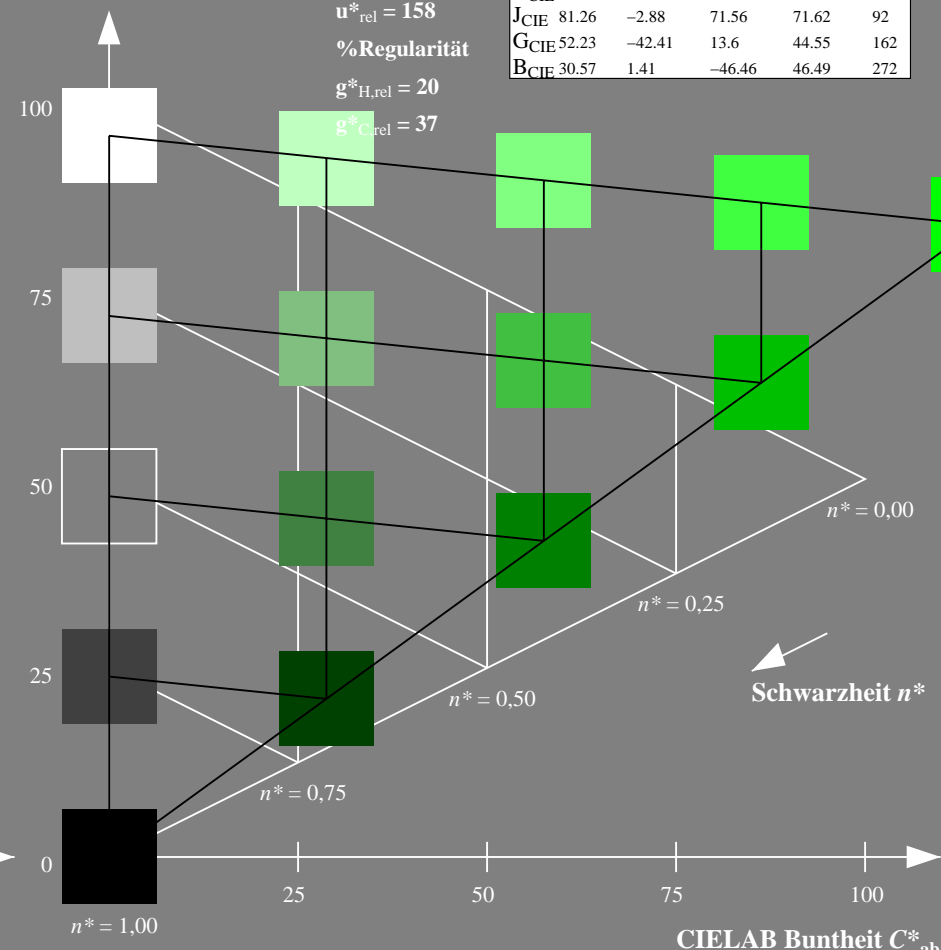
D65: Buntton L  
LCH\*Ma: 84 115 136  
olv\*Ma: 0.0 1.0 0.0



TLS00; adaptierte CIELAB-Daten					
	$L^*=L^*_a$	$a^*_a$	$b^*_a$	$C^*_{ab,a}$	$h^*_{ab,a}$
O <sub>m</sub>	50.5	76.92	64.55	100.42	40
Y <sub>m</sub>	92.66	-20.69	90.75	93.08	103
L <sub>m</sub>	83.63	-82.75	79.9	115.04	136
C <sub>m</sub>	86.88	-46.16	-13.55	48.12	196
V <sub>m</sub>	30.39	76.06	-103.59	128.52	306
M <sub>m</sub>	57.3	94.35	-58.41	110.97	328
N <sub>m</sub>	0.01	0.0	0.0	0.0	0
W <sub>m</sub>	95.41	0.0	0.0	0.0	0
R <sub>CIE</sub>	39.92	58.74	27.99	65.07	25
J <sub>CIE</sub>	81.26	-2.88	71.56	71.62	92
G <sub>CIE</sub>	52.23	-42.41	13.6	44.55	162
B <sub>CIE</sub>	30.57	1.41	-46.46	46.49	272

CIELAB-Helligkeit  $L^*$

%Umfang  
 $u^*_{rel} = 158$   
%Regularität  
 $g^*_{H,rel} = 20$   
 $g^*_{C,rel} = 37$



5 stufige Reihen für konstanten CIELAB Buntton 136/360 = 0.378 (rechts)

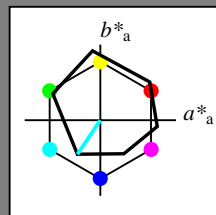
BAM-Prüfvorlage NG20; Farbmimetrik-Systeme ORS18 & TLS00 input: olv\* setrgbcolor

D65: Koordinatensysteme; 5stufige Farbreihen für 10 Bunttöne output: no change compared to input

Eingabe: Farbmimetrisches Offset-Reflektiv-System ORS18

für Buntton  $h^* = lab \cdot h = 236/360 = 0.656$   
 $lab \cdot tch$  und  $lab \cdot nch$

D65: Buntton C  
LCH\*Ma: 59 54 236  
olv\*Ma: 0.0 1.0 1.0



ORS18; adaptierte CIELAB-Daten

	$L^*=L^*_a$	$a^*_a$	$b^*_a$	$C^*_{ab,a}$	$h^*_{ab,a}$
O <sub>m</sub>	47.94	65.39	50.52	82.63	38
Y <sub>m</sub>	90.37	-10.26	91.75	92.32	96
L <sub>m</sub>	50.9	-62.83	34.96	71.91	151
C <sub>m</sub>	58.62	-30.34	-45.01	54.3	236
V <sub>m</sub>	25.72	31.1	-44.4	54.22	305
M <sub>m</sub>	48.13	75.28	-8.36	75.74	354
N <sub>m</sub>	18.01	0.0	0.0	0.0	0
W <sub>m</sub>	95.41	0.0	0.0	0.0	0
R <sub>CIE</sub>	39.92	58.66	26.98	64.57	25
J <sub>CIE</sub>	81.26	-2.16	67.76	67.79	92
G <sub>CIE</sub>	52.23	-42.25	11.76	43.87	164
B <sub>CIE</sub>	30.57	1.15	-46.84	46.86	271

Dreiecks-Helligkeit  $t^*$

%Umfang

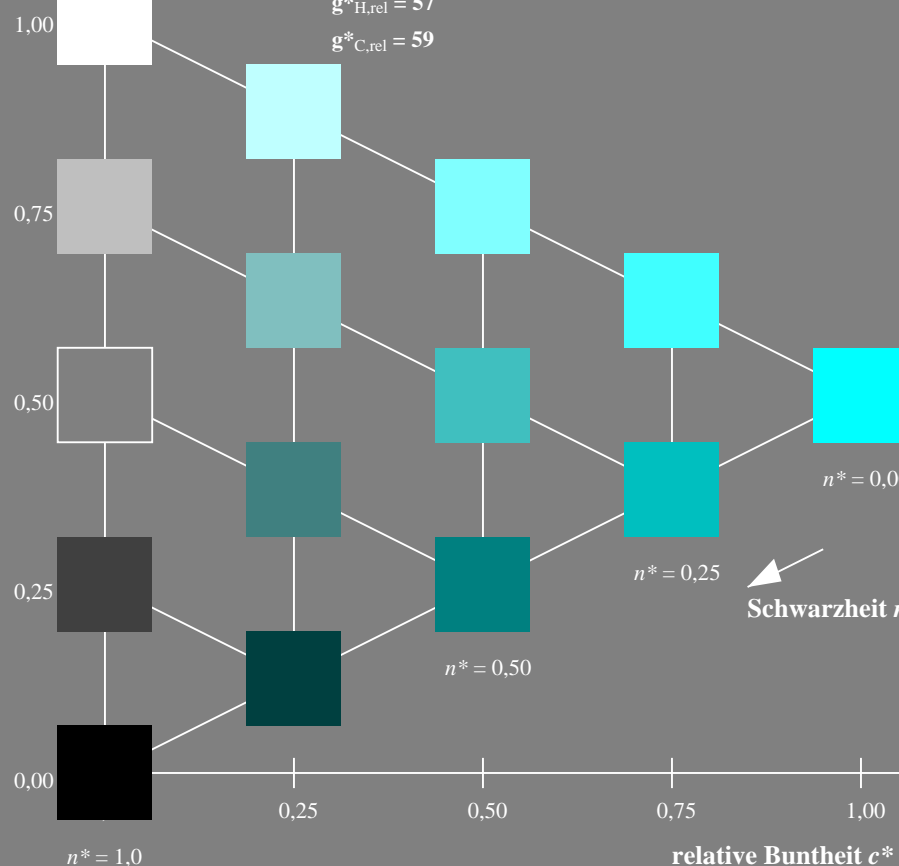
%Umfang

$u^*_{rel} = 93$

%Regularität

$g^*_{H,rel} = 57$

$g^*_{C,rel} = 59$

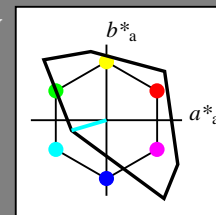


NG200-7, 5 stufige Reihen für konstanten CIELAB Buntton 236/360 = 0.656 (links)

Ausgabe: Farbmimetrisches Fernseh-Licht-System TLS00

für Buntton  $h^* = lab \cdot h = 196/360 = 0.545$   
 $LAB \cdot LCH$ ,  $LAB \cdot NCH$

D65: Buntton C  
LCH\*Ma: 87 48 196  
olv\*Ma: 0.0 1.0 1.0



TLS00; adaptierte CIELAB-Daten

	$L^*=L^*_a$	$a^*_a$	$b^*_a$	$C^*_{ab,a}$	$h^*_{ab,a}$
O <sub>m</sub>	50.5	76.92	64.55	100.42	40
Y <sub>m</sub>	92.66	-20.69	90.75	93.08	103
L <sub>m</sub>	83.63	-82.75	79.9	115.04	136
C <sub>m</sub>	86.88	-46.16	-13.55	48.12	196
V <sub>m</sub>	30.39	76.06	-103.59	128.52	306
M <sub>m</sub>	57.3	94.35	-58.41	110.97	328
N <sub>m</sub>	0.01	0.0	0.0	0.0	0
W <sub>m</sub>	95.41	0.0	0.0	0.0	0
R <sub>CIE</sub>	39.92	58.74	27.99	65.07	25
J <sub>CIE</sub>	81.26	-2.88	71.56	71.62	92
G <sub>CIE</sub>	52.23	-42.41	13.6	44.55	162
B <sub>CIE</sub>	30.57	1.41	-46.46	46.49	272

CIELAB-Helligkeit  $L^*$

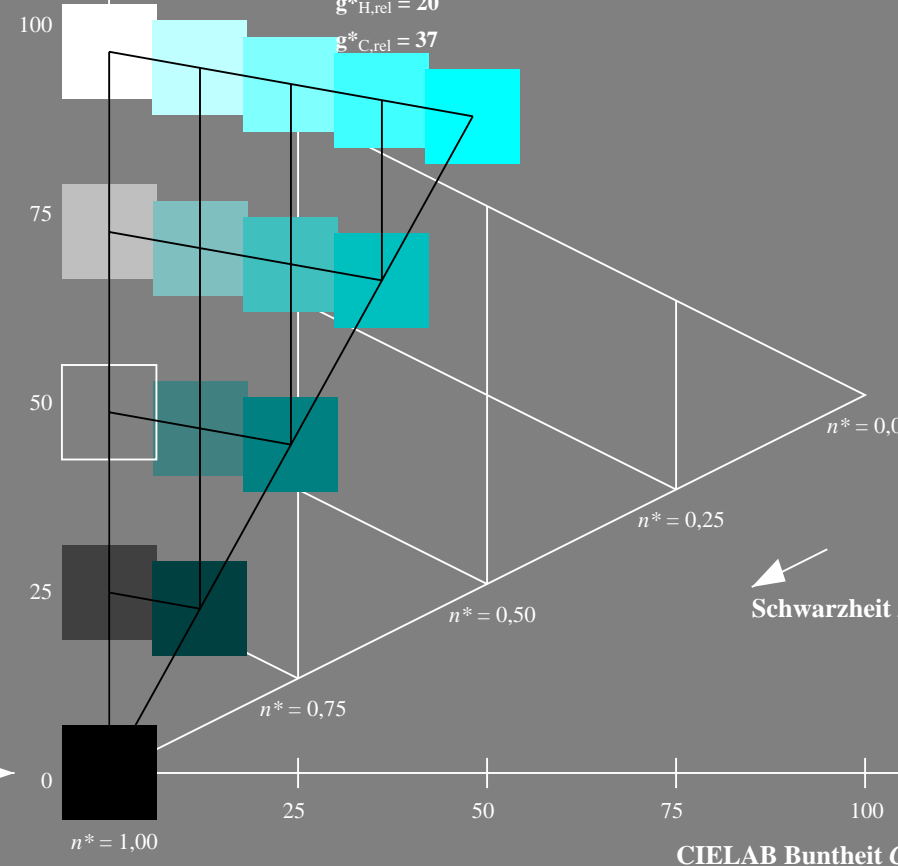
%Umfang

$u^*_{rel} = 158$

%Regularität

$g^*_{H,rel} = 20$

$g^*_{C,rel} = 37$



5 stufige Reihen für konstanten CIELAB Buntton 196/360 = 0.545 (rechts)

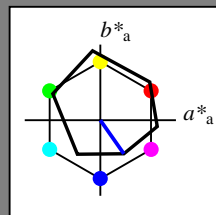
BAM-Prüfvorlage NG20; Farbmimetrik-Systeme ORS18 & TLS00 input: olv\* setrgbcolor

D65: Koordinatensysteme; 5stufige Farbreihen für 10 Bunttöne output: no change compared to input

Eingabe: Farbmétrisches Offset-Reflektiv-System ORS18

für Buntton  $h^* = lab^*h = 305/360 = 0.847$   
 $lab^*tch$  und  $lab^*nch$

D65: Buntton V  
LCH\*Ma: 26 54 305  
olv\*Ma: 0.0 0.0 1.0



ORS18; adaptierte CIELAB-Daten					
	$L^*=L^*_a$	$a^*_a$	$b^*_a$	$C^*_{ab,a}$	$h^*_{ab,a}$
O <sub>m</sub>	47.94	65.39	50.52	82.63	38
Y <sub>m</sub>	90.37	-10.26	91.75	92.32	96
L <sub>m</sub>	50.9	-62.83	34.96	71.91	151
C <sub>m</sub>	58.62	-30.34	-45.01	54.3	236
V <sub>m</sub>	25.72	31.1	-44.4	54.22	305
M <sub>m</sub>	48.13	75.28	-8.36	75.74	354
N <sub>m</sub>	18.01	0.0	0.0	0.0	0
W <sub>m</sub>	95.41	0.0	0.0	0.0	0
R <sub>CIE</sub>	39.92	58.66	26.98	64.57	25
J <sub>CIE</sub>	81.26	-2.16	67.76	67.79	92
G <sub>CIE</sub>	52.23	-42.25	11.76	43.87	164
B <sub>CIE</sub>	30.57	1.15	-46.84	46.86	271

Dreiecks-Helligkeit  $t^*$

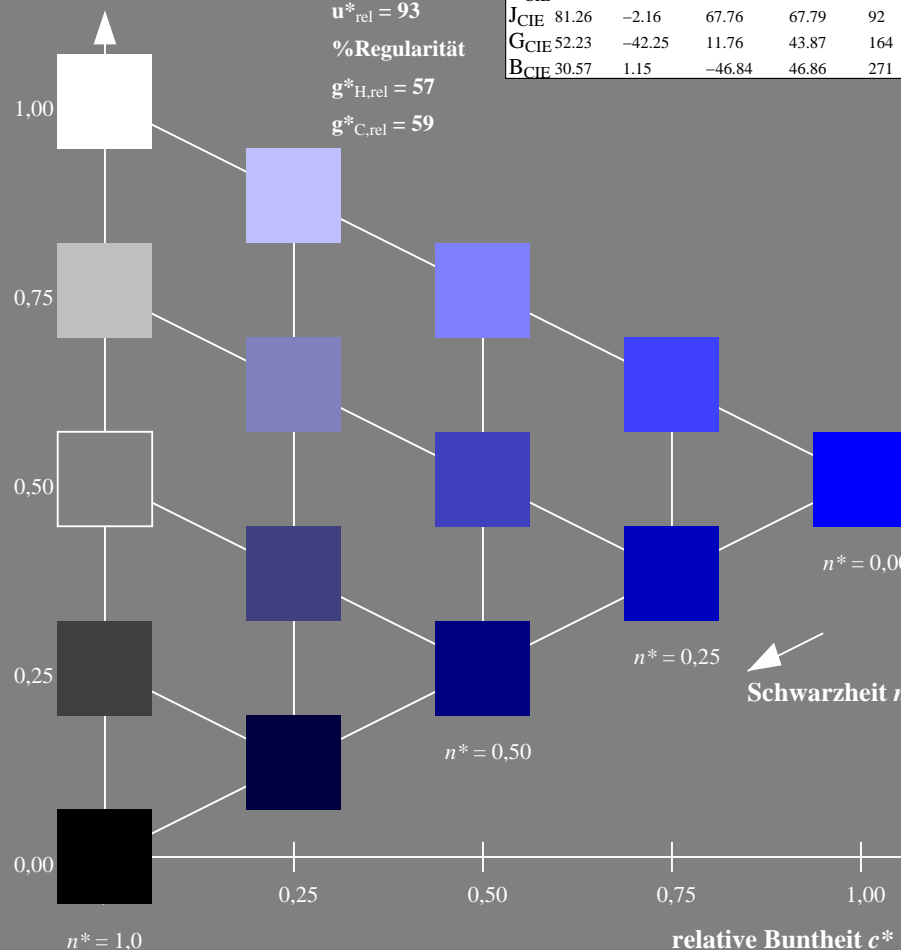
%Umfang

$u^*_{rel} = 93$

%Regularität

$g^*_{H,rel} = 57$

$g^*_{C,rel} = 59$

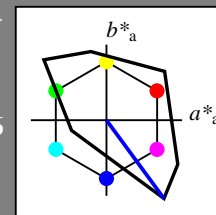


NG200-7, 5 stufige Reihen für konstanten CIELAB Buntton 305/360 = 0.847 (links)

Ausgabe: Farbmétrisches Fernseh-Licht-System TLS00

für Buntton  $h^* = lab^*h = 306/360 = 0.851$   
 $LAB^*LCH$ ,  $LAB^*NCH$

D65: Buntton V  
LCH\*Ma: 30 129 306  
olv\*Ma: 0.0 0.0 1.0



TLS00; adaptierte CIELAB-Daten					
	$L^*=L^*_a$	$a^*_a$	$b^*_a$	$C^*_{ab,a}$	$h^*_{ab,a}$
O <sub>m</sub>	50.5	76.92	64.55	100.42	40
Y <sub>m</sub>	92.66	-20.69	90.75	93.08	103
L <sub>m</sub>	83.63	-82.75	79.9	115.04	136
C <sub>m</sub>	86.88	-46.16	-13.55	48.12	196
V <sub>m</sub>	30.39	76.06	-103.59	128.52	306
M <sub>m</sub>	57.3	94.35	-58.41	110.97	328
N <sub>m</sub>	0.01	0.0	0.0	0.0	0
W <sub>m</sub>	95.41	0.0	0.0	0.0	0
R <sub>CIE</sub>	39.92	58.74	27.99	65.07	25
J <sub>CIE</sub>	81.26	-2.88	71.56	71.62	92
G <sub>CIE</sub>	52.23	-42.41	13.6	44.55	162
B <sub>CIE</sub>	30.57	1.41	-46.46	46.49	272

CIELAB-Helligkeit  $L^*$

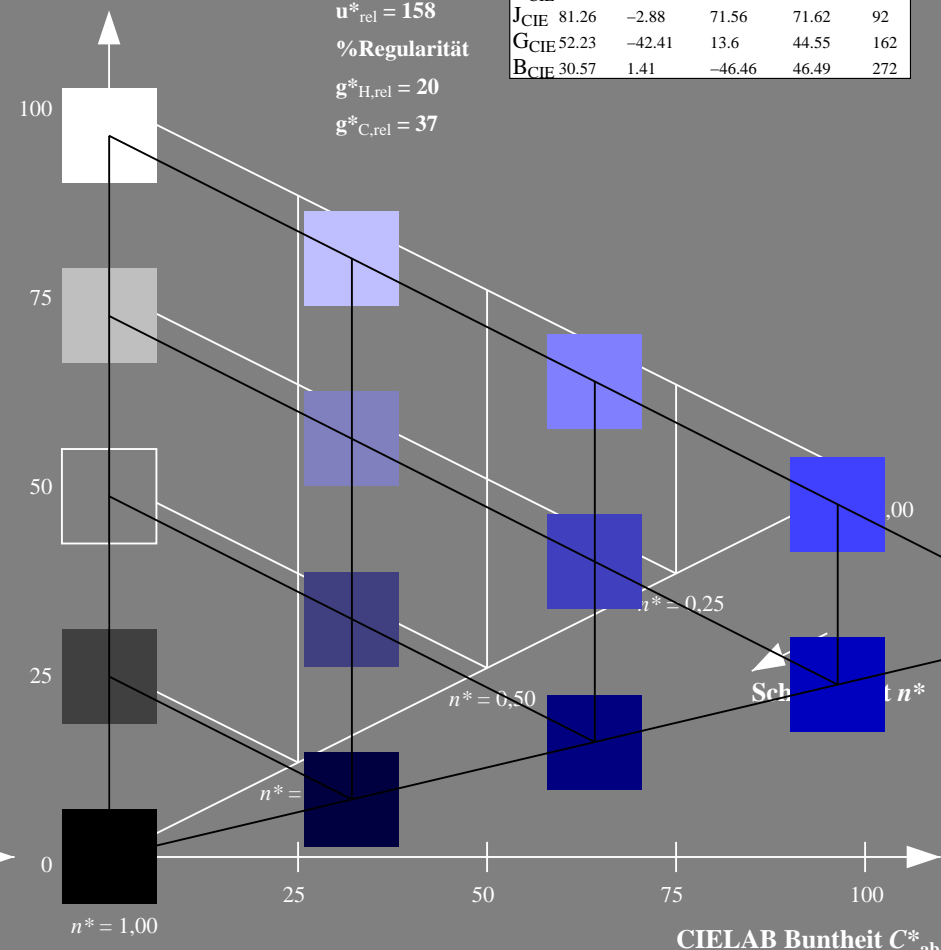
%Umfang

$u^*_{rel} = 158$

%Regularität

$g^*_{H,rel} = 20$

$g^*_{C,rel} = 37$



5 stufige Reihen für konstanten CIELAB Buntton 306/360 = 0.851 (rechts)

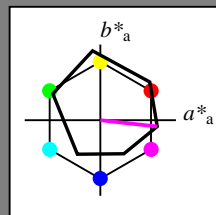
BAM-Prüfvorlage NG20; Farbmétrik-Systeme ORS18 & TLS00 input: olv\* setrgbcolor

D65: Koordinatensysteme; 5stufige Farbreihen für 10 Bunttöne output: no change compared to input

### Eingabe: Farbmimetrisches Offset-Reflektiv-System ORS18

für Buntton  $h^* = lab^*h = 354/360 = 0.982$   
 $lab^*tch$  und  $lab^*nch$

D65: Buntton M  
LCH\*Ma: 48 76 354  
olv\*Ma: 1.0 0.0 1.0



ORS18; adaptierte CIELAB-Daten					
	$L^*=L^*_a$	$a^*_a$	$b^*_a$	$C^*_{ab,a}$	$h^*_{ab,a}$
O <sub>m</sub>	47.94	65.39	50.52	82.63	38
Y <sub>m</sub>	90.37	-10.26	91.75	92.32	96
L <sub>m</sub>	50.9	-62.83	34.96	71.91	151
C <sub>m</sub>	58.62	-30.34	-45.01	54.3	236
V <sub>m</sub>	25.72	31.1	-44.4	54.22	305
M <sub>m</sub>	48.13	75.28	-8.36	75.74	354
N <sub>m</sub>	18.01	0.0	0.0	0.0	0
W <sub>m</sub>	95.41	0.0	0.0	0.0	0
R <sub>CIE</sub>	39.92	58.66	26.98	64.57	25
J <sub>CIE</sub>	81.26	-2.16	67.76	67.79	92
G <sub>CIE</sub>	52.23	-42.25	11.76	43.87	164
B <sub>CIE</sub>	30.57	1.15	-46.84	46.86	271

Dreiecks-Helligkeit  $t^*$

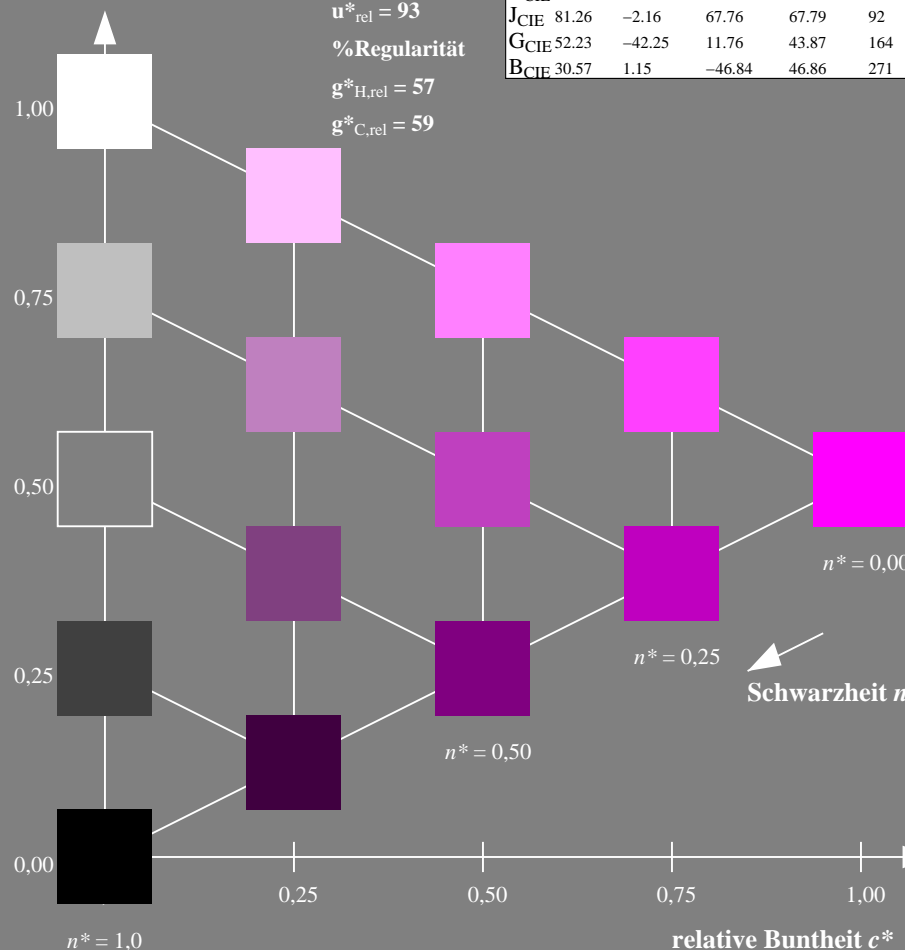
%Umfang

$u^*_{rel} = 93$

%Regularität

$g^*_{H,rel} = 57$

$g^*_{C,rel} = 59$

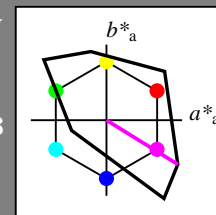


NG200-7, 5 stufige Reihen für konstanten CIELAB Buntton 354/360 = 0.982 (links)

### Ausgabe: Farbmimetrisches Fernseh-Licht-System TLS00

für Buntton  $h^* = lab^*h = 328/360 = 0.912$   
 $LAB^*LCH$ ,  $LAB^*NCH$

D65: Buntton M  
LCH\*Ma: 57 111 328  
olv\*Ma: 1.0 0.0 1.0



TLS00; adaptierte CIELAB-Daten					
	$L^*=L^*_a$	$a^*_a$	$b^*_a$	$C^*_{ab,a}$	$h^*_{ab,a}$
O <sub>m</sub>	50.5	76.92	64.55	100.42	40
Y <sub>m</sub>	92.66	-20.69	90.75	93.08	103
L <sub>m</sub>	83.63	-82.75	79.9	115.04	136
C <sub>m</sub>	86.88	-46.16	-13.55	48.12	196
V <sub>m</sub>	30.39	76.06	-103.59	128.52	306
M <sub>m</sub>	57.3	94.35	-58.41	110.97	328
N <sub>m</sub>	0.01	0.0	0.0	0.0	0
W <sub>m</sub>	95.41	0.0	0.0	0.0	0
R <sub>CIE</sub>	39.92	58.74	27.99	65.07	25
J <sub>CIE</sub>	81.26	-2.88	71.56	71.62	92
G <sub>CIE</sub>	52.23	-42.41	13.6	44.55	162
B <sub>CIE</sub>	30.57	1.41	-46.46	46.49	272

CIELAB-Helligkeit  $L^*$

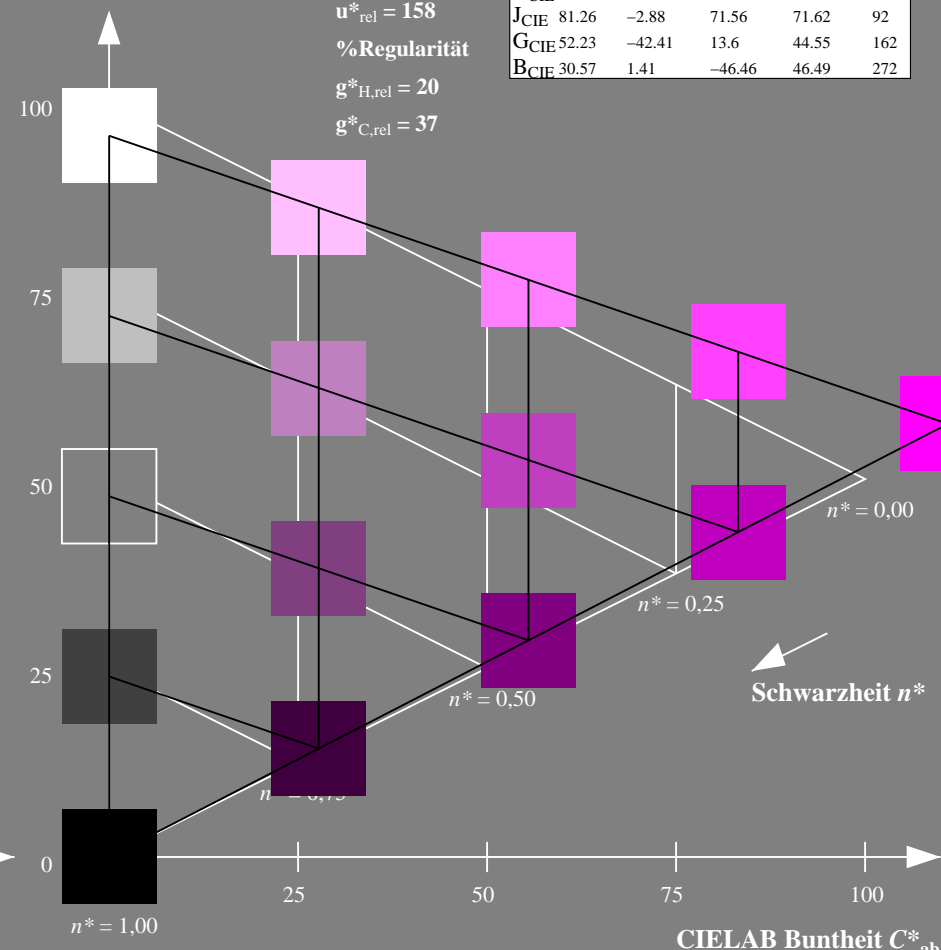
%Umfang

$u^*_{rel} = 158$

%Regularität

$g^*_{H,rel} = 20$

$g^*_{C,rel} = 37$



5 stufige Reihen für konstanten CIELAB Buntton 328/360 = 0.912 (rechts)

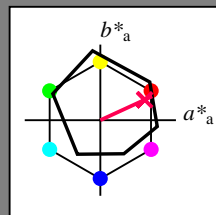
BAM-Prüfvorlage NG20; Farbmimetrik-Systeme ORS18 & TLS00 input: olv\* setrgbcolor

D65: Koordinatensysteme; 5stufige Farbreihen für 10 Bunttöne output: no change compared to input

Eingabe: Farbmimetrisches Offset-Reflektiv-System ORS18

für Buntton  $h^* = lab^*h = 25/360 = 0.069$   
 $lab^*tch$  und  $lab^*nch$

D65: Buntton R  
LCH\*Ma: 48 75 25  
olv\*Ma: 1.0 0.0 0.32



ORS18; adaptierte CIELAB-Daten

	$L^*=L^*_a$	$a^*_a$	$b^*_a$	$C^*_{ab,a}$	$h^*_{ab,a}$
O <sub>m</sub>	47.94	65.39	50.52	82.63	38
Y <sub>m</sub>	90.37	-10.26	91.75	92.32	96
L <sub>m</sub>	50.9	-62.83	34.96	71.91	151
C <sub>m</sub>	58.62	-30.34	-45.01	54.3	236
V <sub>m</sub>	25.72	31.1	-44.4	54.22	305
M <sub>m</sub>	48.13	75.28	-8.36	75.74	354
N <sub>m</sub>	18.01	0.0	0.0	0.0	0
W <sub>m</sub>	95.41	0.0	0.0	0.0	0
R <sub>m</sub>	39.92	58.66	26.98	64.57	25
J <sub>m</sub>	81.26	-2.16	67.76	67.79	92
G <sub>m</sub>	52.23	-42.25	11.76	43.87	164
B <sub>m</sub>	30.57	1.15	-46.84	46.86	271

Dreiecks-Helligkeit  $t^*$

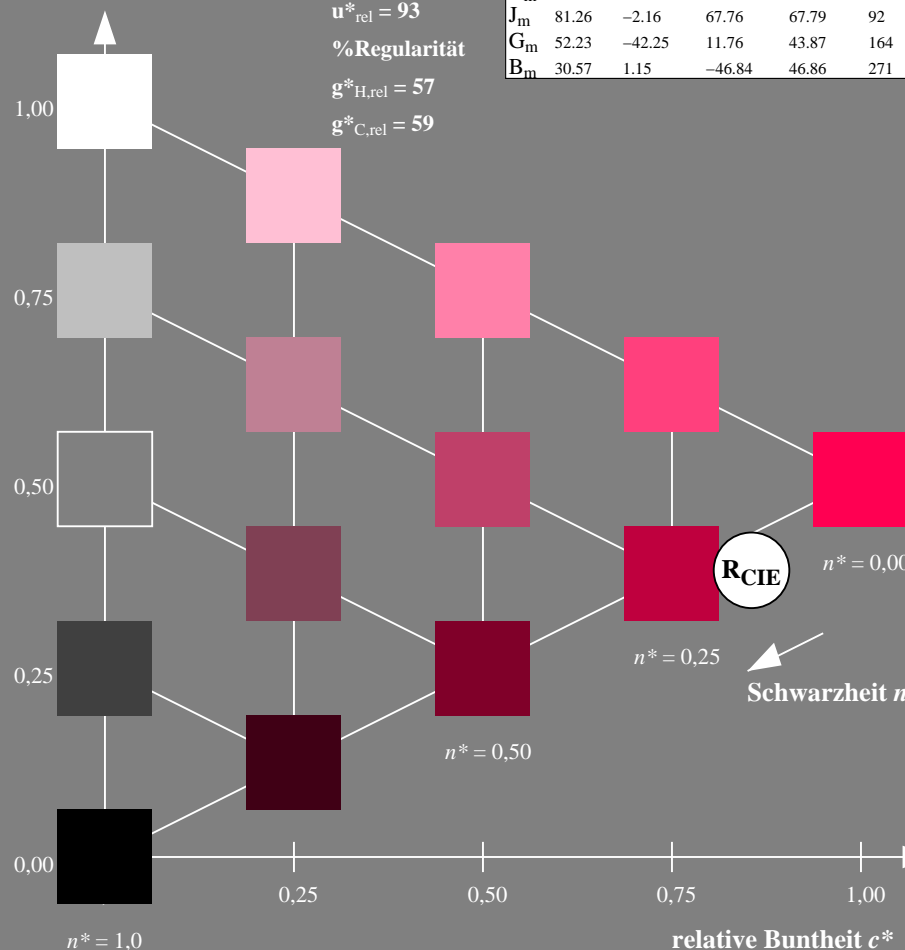
%Umfang

$u^*_{rel} = 93$

%Regularität

$g^*_{H,rel} = 57$

$g^*_{C,rel} = 59$

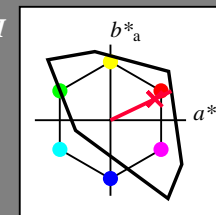


NG200-7, 5 stufige Reihen für konstanten CIELAB Buntton 25/360 = 0.069 (links)

Ausgabe: Farbmimetrisches Fernseh-Licht-System TLS00

für Buntton  $h^* = lab^*h = 25/360 = 0.071$   
 $LAB^*LCH$ ,  $LAB^*NCH$

D65: Buntton R  
LCH\*Ma: 52 89 25  
olv\*Ma: 1.0 0.0 0.21



TLS00; adaptierte CIELAB-Daten

	$L^*=L^*_a$	$a^*_a$	$b^*_a$	$C^*_{ab,a}$	$h^*_{ab,a}$
O <sub>m</sub>	50.5	76.92	64.55	100.42	40
Y <sub>m</sub>	92.66	-20.69	90.75	93.08	103
L <sub>m</sub>	83.63	-82.75	79.9	115.04	136
C <sub>m</sub>	86.88	-46.16	-13.55	48.12	196
V <sub>m</sub>	30.39	76.06	-103.59	128.52	306
M <sub>m</sub>	57.3	94.35	-58.41	110.97	328
N <sub>m</sub>	0.01	0.0	0.0	0.0	0
W <sub>m</sub>	95.41	0.0	0.0	0.0	0
R <sub>m</sub>	39.92	58.74	27.99	65.07	25
J <sub>m</sub>	81.26	-2.88	71.56	71.62	92
G <sub>m</sub>	52.23	-42.41	13.6	44.55	162
B <sub>m</sub>	30.57	1.41	-46.46	46.49	272

CIELAB-Helligkeit  $L^*$

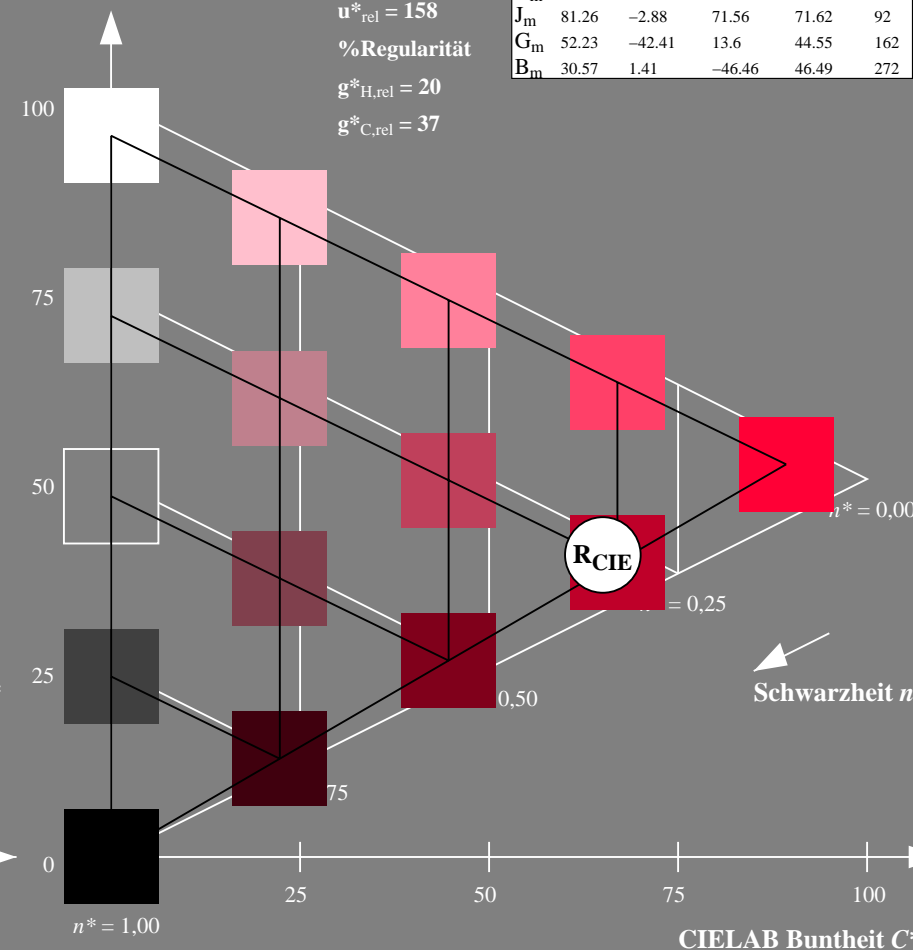
%Umfang

$u^*_{rel} = 158$

%Regularität

$g^*_{H,rel} = 20$

$g^*_{C,rel} = 37$



5 stufige Reihen für konstanten CIELAB Buntton 25/360 = 0.071 (rechts)

BAM-Prüfvorlage NG20; Farbmimetrik-Systeme ORS18 & TLS00 input: olv\* setrgbcolor

D65: Koordinatensysteme; 5stufige Farbreihen für 10 Bunttöne output: no change compared to input



Eingabe: Farbmimetrisches Offset-Reflektiv-System ORS18

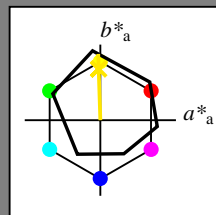
für Buntton  $h^* = lab \cdot h = 92/360 = 0.255$

$lab \cdot tch$  und  $lab \cdot nch$

D65: Buntton J

LCH\*Ma: 86 88 92

olv\*Ma: 1.0 0.9 0.0



ORS18; adaptierte CIELAB-Daten

	$L^*=L^*_a$	$a^*_a$	$b^*_a$	$C^*_{ab,a}$	$h^*_{ab,a}$
O <sub>m</sub>	47.94	65.39	50.52	82.63	38
Y <sub>m</sub>	90.37	-10.26	91.75	92.32	96
L <sub>m</sub>	50.9	-62.83	34.96	71.91	151
C <sub>m</sub>	58.62	-30.34	-45.01	54.3	236
V <sub>m</sub>	25.72	31.1	-44.4	54.22	305
M <sub>m</sub>	48.13	75.28	-8.36	75.74	354
N <sub>m</sub>	18.01	0.0	0.0	0.0	0
W <sub>m</sub>	95.41	0.0	0.0	0.0	0
R <sub>m</sub>	39.92	58.66	26.98	64.57	25
J <sub>m</sub>	81.26	-2.16	67.76	67.79	92
G <sub>m</sub>	52.23	-42.25	11.76	43.87	164
B <sub>m</sub>	30.57	1.15	-46.84	46.86	271

Dreiecks-Helligkeit  $t^*$

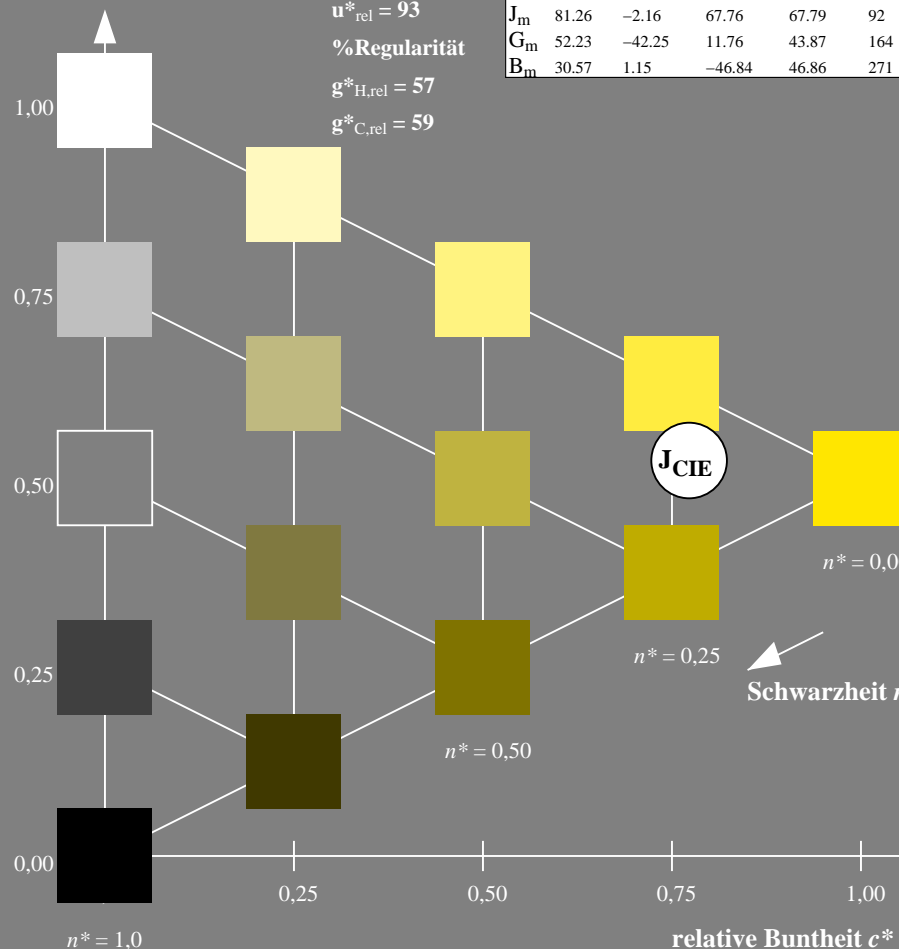
%Umfang

$u^*_{rel} = 93$

%Regularität

$g^*_{H,rel} = 57$

$g^*_{C,rel} = 59$



NG200-7, 5 stufige Reihen für konstanten CIELAB Buntton 92/360 = 0.255 (links)

Ausgabe: Farbmimetrisches Fernseh-Licht-System TLS00

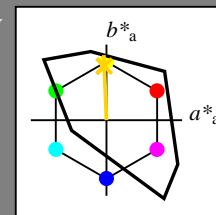
für Buntton  $h^* = lab \cdot h = 92/360 = 0.256$

$LAB \cdot LCH$ ,  $LAB \cdot NCH$

D65: Buntton J

LCH\*Ma: 85 86 92

olv\*Ma: 1.0 0.82 0.0



TLS00; adaptierte CIELAB-Daten

	$L^*=L^*_a$	$a^*_a$	$b^*_a$	$C^*_{ab,a}$	$h^*_{ab,a}$
O <sub>m</sub>	50.5	76.92	64.55	100.42	40
Y <sub>m</sub>	92.66	-20.69	90.75	93.08	103
L <sub>m</sub>	83.63	-82.75	79.9	115.04	136
C <sub>m</sub>	86.88	-46.16	-13.55	48.12	196
V <sub>m</sub>	30.39	76.06	-103.59	128.52	306
M <sub>m</sub>	57.3	94.35	-58.41	110.97	328
N <sub>m</sub>	0.01	0.0	0.0	0.0	0
W <sub>m</sub>	95.41	0.0	0.0	0.0	0
R <sub>m</sub>	39.92	58.74	27.99	65.07	25
J <sub>m</sub>	81.26	-2.88	71.56	71.62	92
G <sub>m</sub>	52.23	-42.41	13.6	44.55	162
B <sub>m</sub>	30.57	1.41	-46.46	46.49	272

CIELAB-Helligkeit  $L^*$

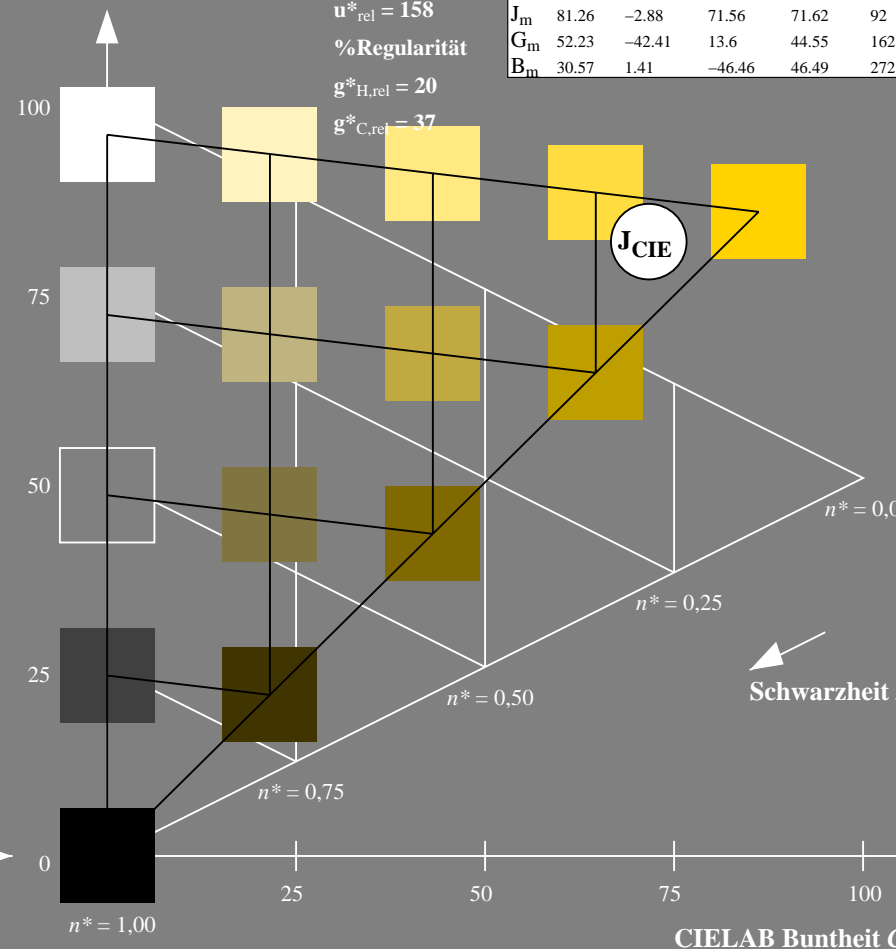
%Umfang

$u^*_{rel} = 158$

%Regularität

$g^*_{H,rel} = 20$

$g^*_{C,rel} = 37$



5 stufige Reihen für konstanten CIELAB Buntton 92/360 = 0.256 (rechts)

BAM-Prüfvorlage NG20; Farbmimetrik-Systeme ORS18 & TLS00 input: olv\* setrgbcolor

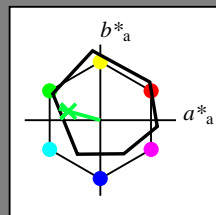
D65: Koordinatensysteme; 5stufige Farbreihen für 10 Bunttöne output: no change compared to input



Eingabe: Farbmimetrisches Offset-Reflektiv-System ORS18

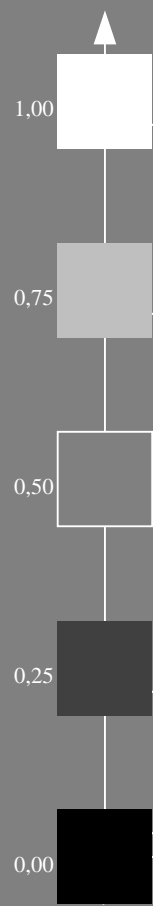
für Buntton  $h^* = lab^*h = 164/360 = 0.457$   
 $lab^*tch$  und  $lab^*nch$

D65: Buntton G  
LCH\*Ma: 53 57 164  
olv\*Ma: 0.0 1.0 0.25



ORS18; adaptierte CIELAB-Daten					
	$L^*=L^*_a$	$a^*_a$	$b^*_a$	$C^*_{ab,a}$	$h^*_{ab,a}$
O <sub>m</sub>	47.94	65.39	50.52	82.63	38
Y <sub>m</sub>	90.37	-10.26	91.75	92.32	96
L <sub>m</sub>	50.9	-62.83	34.96	71.91	151
C <sub>m</sub>	58.62	-30.34	-45.01	54.3	236
V <sub>m</sub>	25.72	31.1	-44.4	54.22	305
M <sub>m</sub>	48.13	75.28	-8.36	75.74	354
N <sub>m</sub>	18.01	0.0	0.0	0.0	0
W <sub>m</sub>	95.41	0.0	0.0	0.0	0
R <sub>m</sub>	39.92	58.66	26.98	64.57	25
J <sub>m</sub>	81.26	-2.16	67.76	67.79	92
G <sub>m</sub>	52.23	-42.25	11.76	43.87	164
B <sub>m</sub>	30.57	1.15	-46.84	46.86	271

Dreiecks-Helligkeit  $t^*$



%Umfang  
 $u^*_{rel} = 93$   
%Regularität  
 $g^*_{H,rel} = 57$   
 $g^*_{C,rel} = 59$

G<sub>CIE</sub>

$n^* = 0,00$

$n^* = 0,25$

$n^* = 0,50$

$n^* = 1,0$

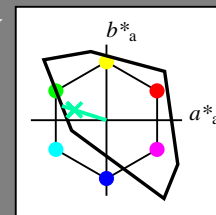
relative Buntheit  $c^*$

NG200-7, 5 stufige Reihen für konstanten CIELAB Buntton 164/360 = 0.457 (links)

Ausgabe: Farbmimetrisches Fernseh-Licht-System TLS00

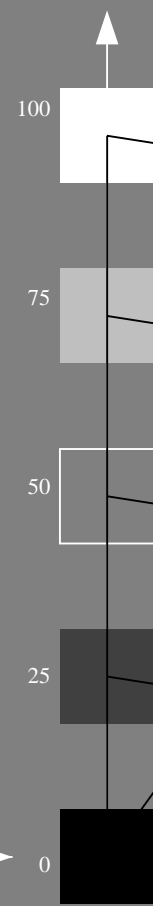
für Buntton  $h^* = lab^*h = 162/360 = 0.451$   
 $LAB^*LCH$ ,  $LAB^*NCH$

D65: Buntton G  
LCH\*Ma: 86 62 162  
olv\*Ma: 0.0 1.0 0.65



TLS00; adaptierte CIELAB-Daten					
	$L^*=L^*_a$	$a^*_a$	$b^*_a$	$C^*_{ab,a}$	$h^*_{ab,a}$
O <sub>m</sub>	50.5	76.92	64.55	100.42	40
Y <sub>m</sub>	92.66	-20.69	90.75	93.08	103
L <sub>m</sub>	83.63	-82.75	79.9	115.04	136
C <sub>m</sub>	86.88	-46.16	-13.55	48.12	196
V <sub>m</sub>	30.39	76.06	-103.59	128.52	306
M <sub>m</sub>	57.3	94.35	-58.41	110.97	328
N <sub>m</sub>	0.01	0.0	0.0	0.0	0
W <sub>m</sub>	95.41	0.0	0.0	0.0	0
R <sub>m</sub>	39.92	58.74	27.99	65.07	25
J <sub>m</sub>	81.26	-2.88	71.56	71.62	92
G <sub>m</sub>	52.23	-42.41	13.6	44.55	162
B <sub>m</sub>	30.57	1.41	-46.46	46.49	272

CIELAB-Helligkeit  $L^*$



%Umfang  
 $u^*_{rel} = 158$   
%Regularität  
 $g^*_{H,rel} = 20$   
 $g^*_{C,rel} = 37$

G<sub>CIE</sub>

$n^* = 0,00$

$n^* = 0,25$

$n^* = 0,50$

$n^* = 0,75$

$n^* = 1,00$

CIELAB Buntheit  $C^*_{ab}$

5 stufige Reihen für konstanten CIELAB Buntton 162/360 = 0.451 (rechts)

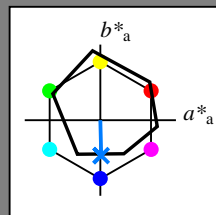
BAM-Prüfvorlage NG20; Farbmimetrik-Systeme ORS18 & TLS00 input: olv\* setrgbcolor

D65: Koordinatensysteme; 5stufige Farbreihen für 10 Bunttöne output: no change compared to input

Eingabe: Farbmétrisches Offset-Reflektiv-System ORS18

für Buntton  $h^* = lab^*h = 271/360 = 0.754$   
 $lab^*tch$  und  $lab^*nch$

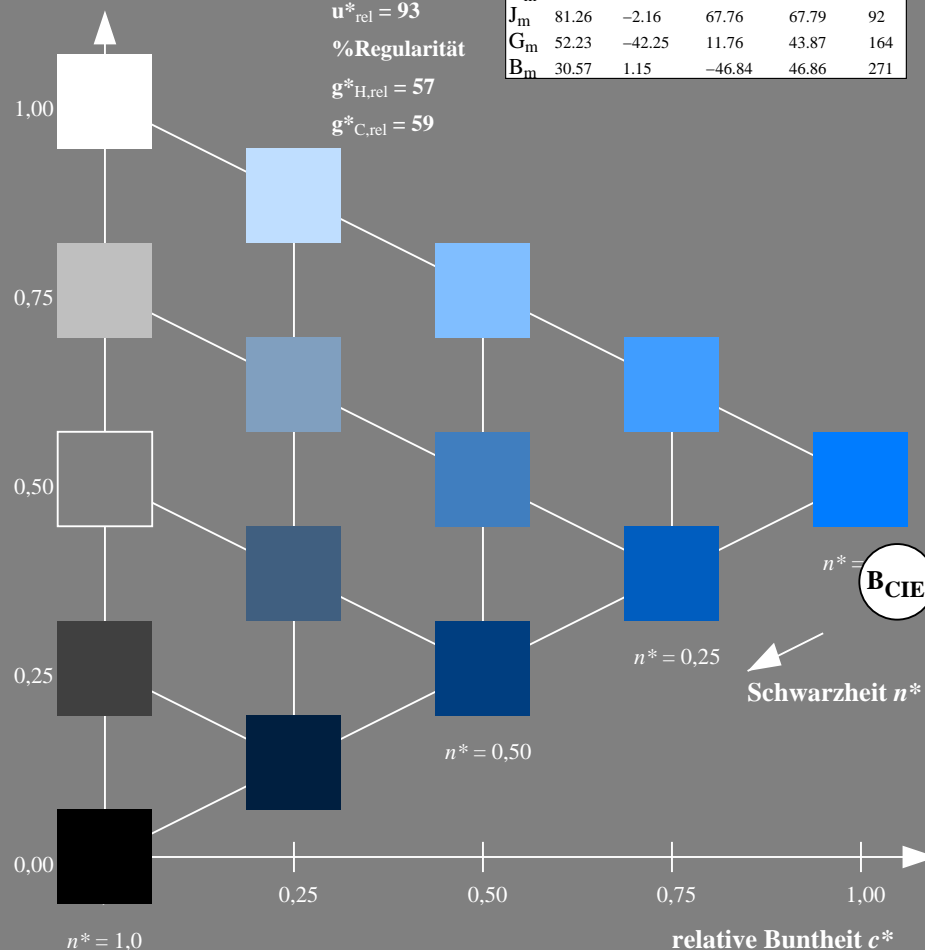
D65: Buntton B  
LCH\*Ma: 42 45 271  
olv\*Ma: 0.0 0.49 1.0



ORS18; adaptierte CIELAB-Daten					
	$L^*=L^*_a$	$a^*_a$	$b^*_a$	$C^*_{ab,a}$	$h^*_{ab,a}$
O <sub>m</sub>	47.94	65.39	50.52	82.63	38
Y <sub>m</sub>	90.37	-10.26	91.75	92.32	96
L <sub>m</sub>	50.9	-62.83	34.96	71.91	151
C <sub>m</sub>	58.62	-30.34	-45.01	54.3	236
V <sub>m</sub>	25.72	31.1	-44.4	54.22	305
M <sub>m</sub>	48.13	75.28	-8.36	75.74	354
N <sub>m</sub>	18.01	0.0	0.0	0.0	0
W <sub>m</sub>	95.41	0.0	0.0	0.0	0
R <sub>m</sub>	39.92	58.66	26.98	64.57	25
J <sub>m</sub>	81.26	-2.16	67.76	67.79	92
G <sub>m</sub>	52.23	-42.25	11.76	43.87	164
B <sub>m</sub>	30.57	1.15	-46.84	46.86	271

Dreiecks-Helligkeit  $t^*$

%Umfang  
 $u^*_{rel} = 93$   
%Regularität  
 $g^*_{H,rel} = 57$   
 $g^*_{C,rel} = 59$

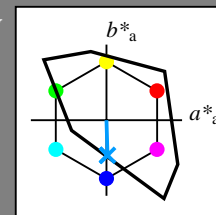


NG200-7, 5 stufige Reihen für konstanten CIELAB Buntton 271/360 = 0.754 (links)

Ausgabe: Farbmétrisches Fernseh-Licht-System TLS00

für Buntton  $h^* = lab^*h = 272/360 = 0.755$   
 $LAB^*LCH, LAB^*NCH$

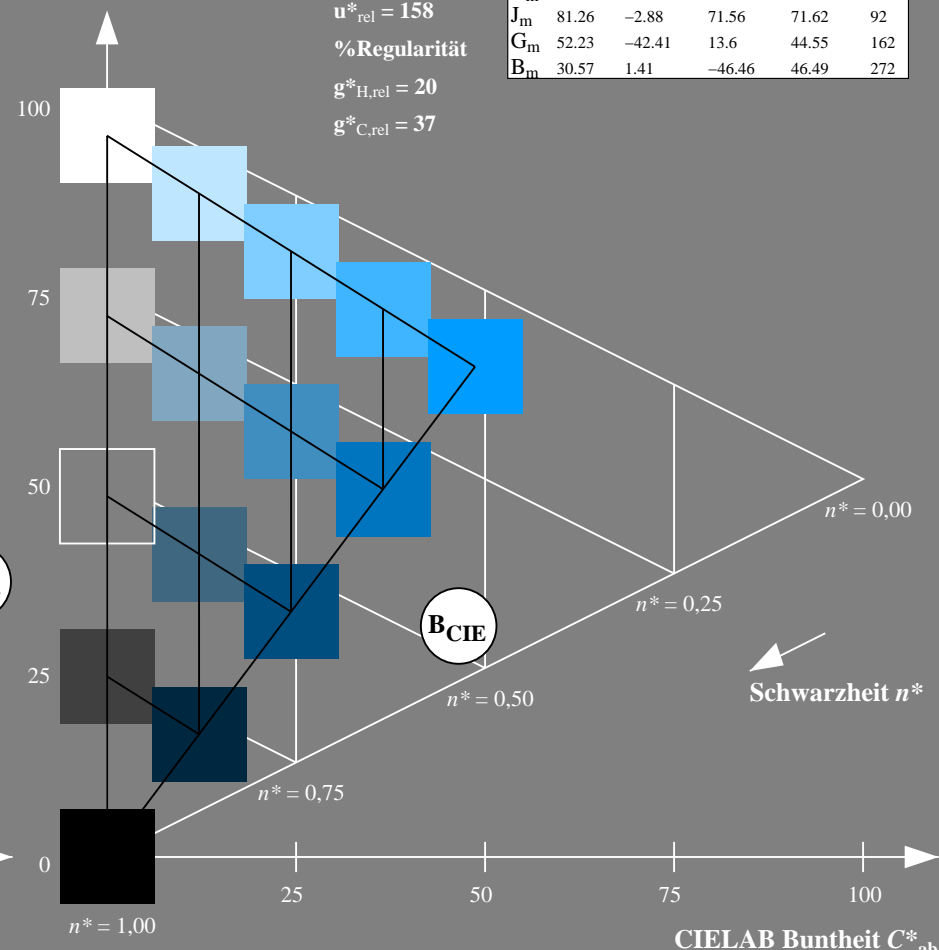
D65: Buntton B  
LCH\*Ma: 65 49 272  
olv\*Ma: 0.0 0.61 1.0



TLS00; adaptierte CIELAB-Daten					
	$L^*=L^*_a$	$a^*_a$	$b^*_a$	$C^*_{ab,a}$	$h^*_{ab,a}$
O <sub>m</sub>	50.5	76.92	64.55	100.42	40
Y <sub>m</sub>	92.66	-20.69	90.75	93.08	103
L <sub>m</sub>	83.63	-82.75	79.9	115.04	136
C <sub>m</sub>	86.88	-46.16	-13.55	48.12	196
V <sub>m</sub>	30.39	76.06	-103.59	128.52	306
M <sub>m</sub>	57.3	94.35	-58.41	110.97	328
N <sub>m</sub>	0.01	0.0	0.0	0.0	0
W <sub>m</sub>	95.41	0.0	0.0	0.0	0
R <sub>m</sub>	39.92	58.74	27.99	65.07	25
J <sub>m</sub>	81.26	-2.88	71.56	71.62	92
G <sub>m</sub>	52.23	-42.41	13.6	44.55	162
B <sub>m</sub>	30.57	1.41	-46.46	46.49	272

CIELAB-Helligkeit  $L^*$

%Umfang  
 $u^*_{rel} = 158$   
%Regularität  
 $g^*_{H,rel} = 20$   
 $g^*_{C,rel} = 37$



5 stufige Reihen für konstanten CIELAB Buntton 272/360 = 0.755 (rechts)

BAM-Prüfvorlage NG20; Farbmétrik-Systeme ORS18 & TLS00 input: olv\* setrgbcolor

D65: Koordinatensysteme; 5stufige Farbreihen für 10 Bunttöne output: no change compared to input